

ห้องสมุดงานวิจัย สำนักงานคณะกรรมการการวิจัยแห่งชาติ



203380



รายงานการวิจัย  
ห้องสมุดงานวิจัย สำนักงานคณะกรรมการการวิจัยแห่งชาติ

เพื่อให้ระบบไฟฟ้ามีประสิทธิภาพและเชี่ยวชาญ

ECONOMIC DISPATCH PROBLEM SOLVING BY HARMONY SEARCH  
ALGORITHM FOR POWER GENERATION SYSTEM  
INTEGRATING WIND ENERGY  
CONVERSATION SYSTEM

บรรณาธิการ ใบล่า

วิทยานิพนธ์ปริญญาดิษตราระบบทดลองชั้นสูง  
มหาวิทยาลัยราชภัฏนนทบุรี

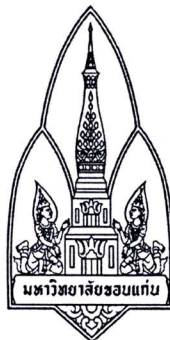
ว.ล. ๒๕๕๓

b00257988

ห้องสมุดงานวิจัย สำนักงานคณะกรรมการวิจัยแห่งชาติ



203380



**การแก้ปัญหาการจ่ายไฟลดอย่างประยุกต์ในระบบที่มีการติดตั้งกังหันลมผลิตไฟฟ้าด้วยระบบวิธีการหาคำตอบขา莫尼**

**ECONOMIC DISPATCH PROBLEM SOLVING BY HARMONY SEARCH**

**ALGORITHM FOR POWER GENERATION SYSTEM**

**INTEGRATING WIND ENERGY**

**CONVERSATION SYSTEM**

**นายศักยพงศ์ โง่นคำ**



**วิทยานิพนธ์ปริญญาวิศวกรรมศาสตรมหาบัณฑิต**

**มหาวิทยาลัยขอนแก่น**

**พ.ศ. 2553**

การแก้ปัญหาการจ่ายโลหดอย่างประยุต์ในระบบที่มีการติดตั้งกังหันลมผลิต  
ไฟฟ้าด้วยระเบียบวิธีการหาคำตอบของปัญหานี้

นายศักยพงศ์ โง่นคำ

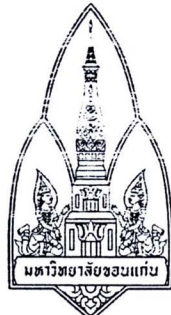
วิทยานิพนธ์นี้เป็นส่วนหนึ่งของการศึกษาตามหลักสูตรปริญญาวิศวกรรมศาสตรมหาบัณฑิต  
สาขาวิชวิศวกรรมไฟฟ้า  
บัณฑิตวิทยาลัย มหาวิทยาลัยขอนแก่น  
พ.ศ. 2553

**ECONOMIC DISPATCH PROBLEM SOLVING BY HARMONY SEARCH  
ALGORITHM FOR POWER GENERATION SYSTEM  
INTREGATING WIND ENERGY  
CONVERSATION SYSTEM**

**MR. SUKAYAPONG NGONKHAM**

**A THESIS SUBMITTED IN PARTIAL FULFILLMENT OF THE REQUIREMENTS  
FOR THE DEGREE OF MASTER OF ENGINEERING  
IN ELECTRICAL ENGINEERING  
GRADUATE SCHOOL KHON KAEN UNIVERSITY**

**2010**



บริบูรณ์วิทยานิพนธ์  
มหาวิทยาลัยขอนแก่น  
หลักสูตร  
วิศวกรรมศาสตรมหาบัณฑิต  
สาขาวิชาศิวกรรมไฟฟ้า

**ชื่อวิทยานิพนธ์:** การแก้ปัญหาการจ่ายไฟลดอย่างประยุกต์ในระบบที่มีการติดตั้งกันหันลมผลิตไฟฟ้า  
**ด้วยระเบียบวิธีการหาคำตอบขั้นโน้ม**

ชื่อผู้ทำวิทยานิพนธ์: นายศักยพงศ์ โน่นคำ

คณะกรรมการสอบวิทยานิพนธ์ ดร. บงกช สุขอนันต์  
ดร. อรุณ่า แสงรุ่ง  
ดร. ปานทรัพย์ บัวครี

ประชานกรรมการ  
กรรมการ  
กรรมการ

### อาจารย์ที่ปรึกษาวิทยานิพนธ์:

อาจารย์ที่ปรึกษา  
ดร. ปานพาทย์ น้ำครี

(รองศาสตราจารย์ ดร. จำปาง แม่นมาตย์) (รองศาสตราจารย์ ดร. สมนึก ธีระกุลพิคุธอี้)  
คณบดีบัณฑิตวิทยาลัย คณบดีคณะวิศวกรรมศาสตร์

## ลิขสิทธิ์ของมหาวิทยาลัยขอนแก่น

ศักยพงศ์ โง่นคำ. 2553. การแก้ปัญหาการจ่ายไฟลดอย่างประหดตในระบบที่มีการติดตั้งกังหันลมผลิตไฟฟ้าด้วยระเบียบวิธีการหาค่าตอบขามโนนี. วิทยานิพนธ์ปริญญา  
วิศวกรรมศาสตรมหาบัณฑิต สาขาวิศวกรรมไฟฟ้า บัณฑิตวิทยาลัย  
มหาวิทยาลัยขอนแก่น.

อาจารย์ที่ปรึกษาวิทยานิพนธ์: ดร. ปานหยา บัวครี

บทคัดย่อ

203380

วิทยานิพนธ์ฉบับนี้ได้นำเสนอการจัดสรรงำลังการผลิตให้เหมาะสมตามหลักเศรษฐศาสตร์สำหรับระบบที่มีการติดตั้งกังหันลมผลิตไฟฟ้า เพื่อหาแนวทางที่เหมาะสมในการลดภาระการใช้น้ำมันในการผลิตกระแสไฟฟ้าในระบบเครื่องกำเนิดไฟฟ้าที่ใช้น้ำมันเป็นเชื้อเพลิงหลักที่ประกอบด้วยเครื่องกำเนิดไฟฟ้าจำนวน 10 เครื่อง ซึ่งมีการพิจารณาผลจากการเปิดและปิดวาล์ว (Valve point effect) โดยพิจารณาในรูปแบบของการวางแผนการผลิตกำลังในหนึ่งวันซึ่งแบ่งออกเป็น 24 ควบเวลา ตั้งแต่เวลา 01.00-24.00 น. ควบเวลาละ 1 ชั่วโมง ซึ่งในการศึกษาได้ศึกษาเกี่ยวกับระบบที่มีการติดตั้งกังหันลมขนาดเล็ก (1 MW) และระบบขนาดใหญ่ ( $> 2 \text{ MW}$ ) โดยในระบบผลิตขนาดใหญ่ที่มีการติดตั้งกังหันลม 80 ยูนิต ได้พิจารณาการคำนวณด้วยความเร็วลงที่ไม่คงที่ ซึ่งเกิดจากผลของเวกเฟิกต์ (Wake effect) โดยใช้วิธีการคำนวณด้วยวิธีแบบการหาค่าตอบแบบขามโนนี (Harmony search algorithm) ซึ่งเป็นวิธีการหาค่าต่ำสุด (Minimization) แบบอาศัยการคำนวณแบบสุ่ม (Heuristic) ที่สามารถหลีกเลี่ยงการพบค่าตอบที่เป็นค่าเหมาะสมเฉพาะถิ่น (Local optimal) ทำให้ค่าตอบที่ได้สามารถเข้าใกล้ค่าตอบเหมาะสมที่สุดโดยรวม (Global optimal) ได้ดียิ่งขึ้น อีกทั้งยังไม่ต้องการการกำหนดค่าเริ่มต้นของค่าตอบอีกด้วย โดยนำผลที่ได้จากการคำนวณเปรียบเทียบกับระเบียบวิธีการหาค่าตอบแบบพันธุกรรม (Genetic algorithm) และระเบียบวิธีการหาค่าตอบแบบจุดภายใน (Interior point methods) โดยอาศัยข้อมูลดิบในการคำนวณจากการเก็บข้อมูลทางสถิติของความเร็วลงในประเทศไทยและประเทศไทย เพื่อนำมาคำนวณข้อมูลทางสถิติด้วยโปรแกรม HOMER เพื่อให้ได้ข้อมูลที่จะนำไปแก้ปัญหาการจ่ายไฟลดต่อไป โดยพิจารณาเงื่อนไขในการคำนวณซึ่งประกอบไปด้วยเงื่อนการจ่ายกำลังให้เพียงพอต่อความต้องการไฟลด (Total load demand) ขีดจำกัดของการจ่ายกำลัง (Generation limit) ขีดจำกัดการเพิ่มหรือลดกำลังของเครื่องกำเนิดไฟฟ้า (Ramp rate limit) ซึ่งการคำนวณความต้องการไฟลดและความเร็วลงจะใช้โปรแกรม HOMER ส่วนการคำนวณในส่วนอื่น ๆ ทั้งหมดคำนวณโดยใช้การเขียนโปรแกรมด้วยภาษา MATLAB จากการทำทดลองแก้ปัญหาการจ่ายไฟลดพบว่าระเบียบวิธีการหาค่าตอบแบบขามโนนีสามารถหาค่าตอบได้เมื่อเปรียบเทียบอีกสองวิธี โดยการกำหนดค่าเริ่มต้น (Harmony considering rate, HMCR) ( Harmony memory size, HMS) (Pictch adjust rate, PAR) ที่ 10,

203380

0.8, 0.1 และมีการคำนวณทั้งสิ้น 100,000 รอบ แต่การหาค่าต่อรอบแบบชาร์โนนี้นั้นเป็นการใช้การคำนวณแบบสุ่มเลือกคำตอบ ทำให้ผลจากการคำนวณในแต่ละรอบมีค่าไม่เท่ากันอีกด้วย การกำหนดค่าเริ่มต้นที่เหมาะสมส่งผลอย่างมากเพื่อให้ได้คำตอบที่ดี โดยมีหลักการกำหนดค่าตัวแปรคือควรให้ HMS และจำนวนรอบในการคำนวณมีค่ามาก และควรกำหนดให้ค่าของตัวแปร HMCR มีค่าอยู่ประมาณ 0.7–0.9 และ PAR มีค่าต่ำกว่า 0.2 แต่ไม่ควรต่ำกว่า 0.1 และเมื่อพิจารณาผลของการติดตั้งกังหันลมส่งผลให้ตันทุนเชื้อเพลิงที่ใช้ในการวางแผนการจ่ายน้ำค่าลดลง 0.57 % ในระบบขนาดเล็กและ 4.8 % ระบบขนาดใหญ่ และการพิจารณาผลจากการพิจารณาผลของการเกิดเวกเอฟเฟกต์ (Wake effect) ทำให้ค่าเชื้อเพลิงเพิ่มขึ้น 0.17 % จะเห็นได้ว่าจากการศึกษาเกี่ยวกับผลของการเปิดและปิดวาล์ว (Valve point effect) และ เวกเอฟเฟกต์ (Wake effect) ส่งผลเกี่ยวกับการแก้ปัญหาการจ่ายไฟลดของระบบเพียงเล็กน้อยดังนั้นในทางปฏิบัติอาจมีการละเว้นเงื่อนไขดังกล่าวเพื่อที่จะสามารถนำร่องอื่นๆ มาใช้ในการแก้ปัญหาได้หลากหลายมากขึ้น

Sukayapong Ngonkham. 2010. *Economic Dispatch Problem Solving by Harmony Search Algorithm for Power Generation System Integrating Wind Energy Conversion System*. Master of Engineering thesis in Electrical, Graduate School, Khon kaen University.

**Thesis Advisor:** Dr. Panhathai Buasri

## ABSTRACT

203380

This thesis presents the method for solving the economic dispatch (ED) incorporated wind energy conversion system (WECS). The ED is an optimization problem which aims to minimize the total cost during the operation period. This study is to handle a power generation planning with valve point effect consideration among the day time periods (01:00 am –24:00 pm) with constraints; total load demand, power generation limit and ramp rate limit. In this study, optimization technique; Harmony search algorithm (HS) has been focused to solve ED when system is connected and disconnected to WECS. The small (1 MW) and large ( $> 2$  MW) wind energy conversion systems are used in this study. The WECS can generated power of 100 KW overall and connected to 10 diesel-generator units. The wind speed and daily load data is predicted by “HOMER”, that is a simulation program to solve power system incorporated renewable energy sources system. After that the predicted data from HOMER is used as input for testing the system and using proposed algorithm by Matlab. The wake effect and valve point effect are included to simulate with ED and then the results are compared with Genetic algorithm (GA), Iinterior point methods (ITP) which illustrate that HS can improve the solution better than GA about 4.02 % and ITP about 2.46 %, respectively. Under conditions: 100,000 iterations, HMS = 10, HMCR = 0.8, PAR = 0.1, its result of the system which is connected to WECS operation could reduced operation cost 0.57 % and 4.8 % for small scale WECS and large scale WECS, respectively. And the wake effect gives the operation cost increasing 0.17 %. The suggestion for setting HS parameter is based on trails and errors experiments which purpose (HMS  $>$  10, 0.7  $<$  HMCR  $<$  0.9, 0.1  $<$  PAR  $<$  0.2). From this study, valve point effect and wake effect impact the ED slightly. Thus, in the practical work, it could apply the other optimization algorithms when ignoring these conditions.

## กิตติกรรมประกาศ

วิทยานิพนธ์นี้มีได้สำเร็จลุล่วงได้ด้วยตัวข้าพเจ้าเพียงผู้เดียว หากแต่เกิดจากความอนุเคราะห์ของบุคลากรที่ทรงคุณวุฒิในด้านต่าง ๆ ซึ่งข้าพเจ้าขอใช้วาระนี้แสดงความขอบพระคุณต่อผู้มีอุปการคุณ ดังรายนามดังต่อไปนี้

ขอขอบพระคุณ คุณพ่อและคุณแม่ สำหรับโอกาสในการศึกษา และเป็นกำลังใจที่สำคัญยิ่งอย่างหาที่เปรียบมิได้

ขอขอบพระคุณ ดร.ปานหยา บัวครี ที่ได้ให้ความรู้ คำปรึกษา แนะนำแนวทาง และทุนวิจัยต่าง ๆ เกี่ยวกับการทำงานวิจัย

ขอขอบพระคุณ ดร.อานุภาพ มีสมบูรณ์ ที่ให้ความรู้และคำปรึกษาในรายวิชา Intro optimization techniques ซึ่งเป็นองค์ความรู้ที่สำคัญเป็นอย่างยิ่งในการทำงานวิจัย

ขอขอบพระคุณ ดร.อนุชา แสงรุ่ง กรรมการสอบและอาจารย์ประจำวิชา Intelligent system ที่ให้คำแนะนำและแนวคิดต่าง ๆ อันเป็นแนวทางทำให้เกิดองค์ความรู้ซึ่งเป็นประโยชน์ต่องานวิจัย ตลอดจนการอ่าน การตรวจสอบความถูกต้องของวิทยานิพนธ์

ขอขอบพระคุณ ดร.บงกช สุขอนันต์ กรรมการสอบ สำหรับคำแนะนำที่เป็นประโยชน์ ต่อการทำวิจัย การอ่านและตรวจสอบความถูกต้องของวิทยานิพนธ์

ศักยพงศ์ โน่นคำ

## สารบัญ

	หน้า
บทคัดย่อภาษาไทย	ก
บทคัดย่อภาษาอังกฤษ	ค
กิตติกรรมประกาศ	ง
สารบัญตาราง	ช
สารบัญรูปภาพ	ญ
<b>บทที่ 1 บทนำ</b>	
1.1 ความเป็นมาและความสำคัญของปัญหา	1
1.2 วัตถุประสงค์	3
1.3 ขอบเขตการวิจัย	3
1.4 วิธีการดำเนินการวิจัย	3
1.5 ประโยชน์ที่คาดว่าจะได้รับ	3
<b>บทที่ 2 วรรณกรรมปริทัศน์</b>	
2.1 วรรณกรรมปริทัศน์การทำตามแบบขาโนนี	4
2.2 วรรณกรรมปริทัศน์การแก้ปัญหาการจ่ายโหลดอย่างประยุกต์และกังหันลม	5
<b>บทที่ 3 กำหนดปัญหา</b>	
3.1 การจ่ายโหลดอย่างประยุกต์	7
3.2 การวิเคราะห์การไฟลของกำลังไฟฟ้า	10
3.3 การแก้ปัญหาจ่ายโหลดอย่างประยุกต์กับระบบทดสอบ	20
3.4 ความสัมพันธ์ระหว่างความเร็วลมและกำลังการผลิต	25
3.5 ความต้องการใช้พลังงาน (Load)	39
3.6 การคำนวณความเร็วลมและความต้องการใช้พลังงานด้วยโปรแกรม HOMER	42
<b>บทที่ 4 วิธีการแก้ปัญหาที่นำเสนอ</b>	
4.1 ระเบียบวิธีการทำตามแบบขาโนนี	47
4.2 ระเบียบวิธีการทำตามแบบพันธุกรรม	51
4.3 ระเบียบวิธีการทำตามแบบจุดภายใน	53
<b>บทที่ 5 การออกแบบทดลองและผลการทดลอง</b>	
5.1 การออกแบบการทดลอง	56

## สารบัญ (ต่อ)

	หน้า
5.2 ผลการทดสอบ	67
5.3 สรุปผลการทดลอง	78
<b>บทที่ 6 บทสรุปและข้อคิดเห็น</b>	
6.1 บทสรุป	80
6.2 ข้อคิดเห็น	83
<b>บรรณานุกรม</b>	85
<b>ภาคผนวก</b>	
ภาคผนวก ก ข้อมูลระบบไฟฟ้าที่ใช้ในการทดลองในบทที่ 3 และผลการทดสอบเพิ่มเติม	88
ภาคผนวก ข ข้อมูลระบบไฟฟ้าที่ใช้ในการทดลองในบทที่ 5 และผลการทดสอบเพิ่มเติม	96
ภาคผนวก ค ผลการทดสอบการคำนวณชั้ของระเบียบ HS และ GA	130
ภาคผนวก ง แผนภาพการทำงานของโปรแกรม	133
ภาคผนวก จ ข้อมูลความต้องการใช้พลังงานที่ใช้ทำการทดสอบ และ ข้อมูลความเร็วลมรายชั่วโมง	135
<b>การเผยแพร่วิทยานิพนธ์</b>	138
<b>ประวัติผู้เขียน</b>	140

## สารบัญตาราง

	หน้า
ตารางที่ 3.1 ประเภทของบัสในระบบ	11
ตารางที่ 3.2 ระบบที่ใช้ทดสอบ: กรณีศึกษาที่ 1	20
ตารางที่ 3.3 ระบบที่ใช้ทดสอบ: กรณีศึกษาที่ 2	21
ตารางที่ 3.4 ระบบที่ใช้ทดสอบ: กรณีศึกษาที่ 3	22
ตารางที่ 3.5 การกำหนดค่าเริ่มต้นแก่ HS และ GA	23
ตารางที่ 3.6 ผลการทดสอบ กรณีศึกษาที่ 1	24
ตารางที่ 3.7 ผลการทดสอบ กรณีศึกษาที่ 2	24
ตารางที่ 3.8 ผลการทดสอบ กรณีศึกษาที่ 3	25
ตารางที่ 3.9 ระบบผลิตไฟฟ้าพลังงานลมที่ทำการศึกษา	27
ตารางที่ 3.10 แสดงสัมประสิทธิ์ $\alpha$ ในแต่ละແຕງ	33
ตารางที่ 5.1 ระบบผลิตไฟฟ้าพลังงานเชื้อเพลิง	57
ตารางที่ 5.2 ระบบผลิตไฟฟ้าพลังงานลม	58
ตารางที่ 5.3 ข้อมูลความเร็วลมและความต้องการโหลดที่ใช้ในการทดลอง	61
ตารางที่ 5.4 กำลังการผลิตที่ลดลงพิจารณาที่ความเร็วลมเฉลี่ย $4.975 \text{ m/s}$	64
ตารางที่ 5.5 กำลังการผลิตที่ลดลงพิจารณาที่ความเร็วลมเฉลี่ย $9.5 \text{ m/s}$	65
ตารางที่ 5.6 การเชื่อมต่อกับกังหันขนาด $2 \text{ MW}$	66
ตารางที่ 5.7 การวางแผนการจ่ายโหลดตั้งแต่ เวลา $01:00-24:00 \text{ น. ก่อนการติดตั้ง กังหันลมผลิตไฟฟ้า}$	67
ตารางที่ 5.8 กังหันลมขนาด $1 \text{ MW}$ ความเร็วลม $4.975 \text{ m/s}$	68
ตารางที่ 5.9 กังหันลมขนาด $1 \text{ MW}$ ความเร็วลม $9.5 \text{ m/s}$	69
ตารางที่ 5.10 การเชื่อมต่อกับกังหันลมขนาด $1.5 \text{ MW}$ ความเร็วลม $4.975 \text{ m/s}$	70
ตารางที่ 5.11 การเชื่อมต่อกับกังหันลมขนาด $1.5 \text{ MW}$ ความเร็วลม $9.5 \text{ m/s}$	71
ตารางที่ 5.12 การเชื่อมต่อกับกังหันลมขนาด $2.5 \text{ MW}$ ความเร็วลม $4.975 \text{ m/s}$	72
ตารางที่ 5.13 การเชื่อมต่อกับกังหันลมขนาด $2.5 \text{ MW}$ ความเร็วลม $9.5 \text{ m/s}$	73
ตารางที่ 5.14 การเชื่อมต่อกับกังหันลม $2 \text{ MW}$ โดยไม่พิจารณาผลของเวกเอฟเฟกต์ (Wake effect) กรณีที่ 1	74
ตารางที่ 5.15 การเชื่อมต่อกับกังหันลม $2 \text{ MW}$ โดยพิจารณาผลของเวกเอฟเฟกต์ (Wake effect) กรณีที่ 2	75
ตารางที่ 5.16 การเชื่อมต่อกับกังหันลม $2 \text{ MW}$ โดยพิจารณาผลของเวกเอฟเฟกต์ (Wake effect) กรณีที่ 3	76

## สารบัญตาราง (ต่อ)

	หน้า
ตารางที่ 5.17 การเชื่อมต่อกันหันลม 2 MW โดยพิจารณาผลของเวกเอฟเฟกต์ (Wake effect) กรณีที่ 4	77
ตารางที่ 6.1 การเปรียบเทียบข้อดีข้อเสียของการหาคำตอบแต่ละวิธี	81
ตารางที่ ก.1 ข้อมูลสายล่างระบบทดสอบที่ 3	90
ตารางที่ ก.2 รายละเอียดแต่ละบัสของระบบทดสอบที่ 3	91
ตารางที่ ก.3 ผลการคำนวณด้วยระเบียบวิธีแบบพัฒนอุปกรณ์	93
ตารางที่ ก.4 ผลการคำนวณด้วยระเบียบแบบจุดภายใน	94
ตารางที่ ก.5 ผลการคำนวณด้วยระเบียบแบบขยายโน้น	95
ตารางที่ ช.1 กรณีไม่มีการเชื่อมต่อกันหันลม	97
ตารางที่ ช.2 กรณีการเชื่อมต่อกันหันลม ขนาด 1 MW ความเร็วลม 4.975 m/s	98
ตารางที่ ช.3 กรณีการเชื่อมต่อกันหันลม ขนาด 1 MW ความเร็วลม 9.5 m/s	99
ตารางที่ ช.4 กรณีการเชื่อมต่อกันหันลม ขนาด 1.5 MW ความเร็วลม 4.975 m/s	100
ตารางที่ ช.5 กรณีการเชื่อมต่อกันหันลม ขนาด 1.5 MW ความเร็วลม 9.5 m/s	101
ตารางที่ ช.6 กรณีการเชื่อมต่อกันหันลม ขนาด 2.5 MW ความเร็วลม 4.975 m/s	102
ตารางที่ ช.7 กรณีการเชื่อมต่อกันหันลม ขนาด 2.5 MW ความเร็วลม 9.5 m/s	103
ตารางที่ ช.8 กรณีการเชื่อมต่อกันหันลม ขนาด 2 MW แต่ไม่พิจารณาผลจาก เวกเอฟเฟกต์ (Wake effect) กรณีศึกษาที่ 1	104
ตารางที่ ช.9 กรณีการเชื่อมต่อกันหันลม ขนาด 2 MW กรณีศึกษาที่ 2	105
ตารางที่ ช.10 การเชื่อมต่อกันหันลม ขนาด 2 MW กรณีศึกษาที่ 3	106
ตารางที่ ช.11 กรณีการเชื่อมต่อกันหันลม ขนาด 2 MW กรณีศึกษาที่ 4	107
ตารางที่ ช.12 กรณีการเชื่อมไม่มีการเชื่อมต่อกันหันลม	108
ตารางที่ ช.13 กรณีการเชื่อมต่อกันหันลม ขนาด 1 MW ความเร็วลม 4.975 m/s	109
ตารางที่ ช.14 กรณีการเชื่อมต่อกันหันลม ขนาด 1 MW ความเร็วลม 9.5 m/s	110
ตารางที่ ช.15 กรณีการเชื่อมต่อกันหันลม ขนาด 1.5 MW ความเร็วลม 4.975 m/s	111
ตารางที่ ช.16 กรณีการเชื่อมต่อกันหันลม ขนาด 1.5 MW ความเร็วลม 9.5 m/s	112
ตารางที่ ช.17 กรณีการเชื่อมต่อกันหันลม ขนาด 2.5 MW ความเร็วลม 4.975 m/s	113
ตารางที่ ช.18 กรณีการเชื่อมต่อกันหันลม ขนาด 2.5 MW ความเร็วลม 9.5 m/s	114
ตารางที่ ช.19 กรณีการเชื่อมต่อกันหันลม ขนาด 2 MW แต่ไม่พิจารณาผลจาก เวกเอฟเฟกต์ (Wake effect) กรณีศึกษาที่ 1	115

## สารบัญตาราง (ต่อ)

	หน้า
ตารางที่ ข.20 กรณีการเชื่อมต่อกังหันลม ขนาด 2 MW กรณีคึกคักที่ 2	116
ตารางที่ ข.21 กรณีการเชื่อมต่อกังหันลม ขนาด 2 MW กรณีคึกคักที่ 3	117
ตารางที่ ข.22 กรณีการเชื่อมต่อกังหันลม ขนาด 2 MW กรณีคึกคักที่ 4	118
ตารางที่ ข.23 กรณีการเชื่อมไม่มีการเชื่อมต่อกังหันลม	119
ตารางที่ ข.24 กรณีการเชื่อมต่อกังหันลม ขนาด 1 MW ความเร็วลม 4.975 m/s	120
ตารางที่ ข.25 กรณีการเชื่อมต่อกังหันลม ขนาด 1 MW ความเร็วลม 9.5 m/s	121
ตารางที่ ข.26 กรณีการเชื่อมต่อกังหันลม ขนาด 1.5 MW ความเร็วลม 4.975 m/s	122
ตารางที่ ข.27 กรณีการเชื่อมต่อกังหันลม ขนาด 1.5 MW ความเร็วลม 9.5 m/s	123
ตารางที่ ข.28 กรณีการเชื่อมต่อกังหันลม ขนาด 2.5 MW ความเร็วลม 4.975 m/s	124
ตารางที่ ข.29 กรณีการเชื่อมต่อกังหันลม ขนาด 2.5 MW ความเร็วลม 9.5 m/s	125
ตารางที่ ข.30 กรณีการเชื่อมต่อกังหันลม ขนาด 2 MW แต่ไม่พิจารณาผลจาก เวกेलฟ์เฟกต์ (Wake effect) กรณีคึกคักที่ 1	126
ตารางที่ ข.31 กรณีการเชื่อมต่อกังหันลม ขนาด 2 MW กรณีคึกคักที่ 2	127
ตารางที่ ข.32 กรณีการเชื่อมต่อกังหันลม ขนาด 2 MW กรณีคึกคักที่ 3	128
ตารางที่ ข.33 กรณีการเชื่อมต่อกังหันลม ขนาด 2 MW กรณีคึกคักที่ 4	129
ตารางที่ ค.1 ผลการทดสอบเชิงสถิติในการหาค่าตอบด้วยระเบียบวิธีแบบระเบียบ วิธีแบบยาโนนี	131
ตารางที่ ค.2 ผลการทดสอบเชิงสถิติในการหาค่าตอบด้วยระเบียบวิธีแบบระเบียบ วิธีแบบพันธุกรรม	132
ตารางที่ จ.1 ข้อมูลความต้องการใช้พลังงานที่ใช้ทำการเป็นต้นข้อมูลดิบก่อนการ คำนวณด้วย HOMER	136
ตารางที่ จ.2 ข้อมูลความเร็วลมรายชั่วที่ใช้ในการคำนวณ	137

## สารบัญภาพ

หน้า

ภาพที่ 3.1	กราฟความสัมพันธ์ระหว่างเชื้อเพลิงกับพลังงานที่ได้โดยไม่พิจารณา ผลจากการเปิดปิด瓦ลว์	9
ภาพที่ 3.2	กราฟความสัมพันธ์ระหว่างเชื้อเพลิงกับพลังงานที่ได้โดยพิจารณา ผลจากการเปิดปิดวาลว์	9
ภาพที่ 3.3	แสงกบัส	11
ภาพที่ 3.4	บัสเครื่องกำเนิดไฟฟ้า	11
ภาพที่ 3.5	โอลดบัส	11
ภาพที่ 3.6	รูปร่างแผนภาระบททดสอบที่ 1	20
ภาพที่ 3.7	รูปร่างแผนภาระบททดสอบที่ 2	20
ภาพที่ 3.8	รูปร่างแผนภาระบททดสอบที่ 3	22
ภาพที่ 3.9	ความสัมพันธ์ระหว่างความเร็วลมและกำลังการผลิต	27
ภาพที่ 3.10	การกระจายตัวแบบวิวบูล	28
ภาพที่ 3.11	กำลังที่ได้จากการเปลี่ยนรูปรูปพลังงานของกังหันที่มีขนาดแตกต่างกัน	29
ภาพที่ 3.12	กำลังได้จากการกระแสลมผ่านกังหันลม	30
ภาพที่ 3.13	ความเร็วลมที่ผ่านกังหันลมหลาย ๆ ตัว	31
ภาพที่ 3.14	ระบบกังหันลมขนาด 80 ยูนิต	32
ภาพที่ 3.15	ทิศทางกระแสลมที่ใช้พิจารณาในกรณีศึกษาที่ 1	33
ภาพที่ 3.16	วงจรสมมูลวินฟาร์ม (Wind farm) ที่อยู่ในແຄວເດີຍກັນ ກຣີມືກາທີ 1	34
ภาพที่ 3.17	การเปลี่ยนรูปรูปพลังของกังหันลมขนาด 2 MW 80 ยูนิต โดยพิจารณาผล ของເວັກເອົບເຟັກຕິ (wake effect) ກຣີທີ 1	34
ภาพที่ 3.18	ທີ່ສ່າງກະຮະແສລມທີ່ໃຊ້ພິຈາລະນາໃນກຣີມືກາທີ 2	35
ภาพที่ 3.19	วงຈະສົມມູລຂອງວິນຟາຣົມ (wind farm) ທີ່ອູ້ຢູ່ໃນແຄວເດີຍກັນກຣີມືກາທີ 2	36
ภาพที่ 3.20	ການປຶ້ມຢູ່ໃນຮູບພັບລັງຂອງກັນໜຳລົມໜາດ 2 MW 80 >yunit ໂດຍພິຈາລະນາຜລ ຂອງເວັກເອົບເຟັກຕິ (wake effect) ກຣີທີ 2	36
ภาพที่ 3.21	ທີ່ສ່າງກະຮະແສລມທີ່ໃຊ້ພິຈາລະນາໃນກຣີມືກາທີ 3	37
ภาพที่ 3.22	ວິຈະສົມມູລຂອງວິນຟາຣົມ (wind farm) ທີ່ອູ້ຢູ່ໃນແຄວເດີຍກັນກຣີມືກາທີ 3	38
ภาพที่ 3.23	ການປຶ້ມຢູ່ໃນຮູບພັບລັງຂອງກັນໜຳລົມໜາດ 2 MW 80 >yunit ໂດຍພິຈາລະນາຜລ ຂອງເວັກເອົບເຟັກຕິ (wake effect) ກຣີທີ 3	38

## สารบัญภาพ (ต่อ)

	หน้า
ภาพที่ 3.24 ค่าความต้องการโหลดประเภทครัวเรือน	40
ภาพที่ 3.25 แผนภาพการปรับปรุงการจ่ายโหลดที่นำเสนอด้วยเครื่องกำเนิดไฟฟ้าในระบบจำกัด	40
ภาพที่ 3.26 ภาระการจ่ายโหลดที่ลดลง	41
ภาพที่ 3.27 แผนภาพขั้นตอนการคำนวณความเร็วลมด้วยโปรแกรม HOMER	44
ภาพที่ 3.28 แผนภาพขั้นตอนการคำนวณความต้องการใช้พลังงาน HOMER	45
ภาพที่ 4.1 วิธีการหาคำตอบ HS	50
ภาพที่ 4.2 วิธีการหาคำตอบด้วย GA	52
ภาพที่ 4.3 เส้นทางการสู่เข้าของคำตอบแบบ ITP	53
ภาพที่ 4.4 วิธีการหาคำตอบด้วย ITP	54
ภาพที่ 5.1 ระบบการเชื่อมต่อกังหันลมและเครื่องกำเนิดไฟฟ้าในระบบจำกัด	57
ภาพที่ 5.2 แผนผังระบบทดสอบในกรณีศึกษาที่ 2	58
ภาพที่ 5.3 ความสัมพันธ์ระหว่างความเร็วลมและกำลังการผลิตของกังหันลม 1 MW	59
ภาพที่ 5.4 ความสัมพันธ์ระหว่างความเร็วลมและกำลังการผลิตของกังหันลม 1.5 MW	60
ภาพที่ 5.5 ความสัมพันธ์ระหว่างความเร็วลมและกำลังการผลิตของกังหันลม 2 MW	60
ภาพที่ 5.6 ความสัมพันธ์ระหว่างความเร็วลมและกำลังการผลิตของกังหันลม 2.5 MW	60
ภาพที่ 5.7 ความเร็วลมรายชั่วโมงของประเทศไทย	61
ภาพที่ 5.8 ความเร็วลมรายชั่วโมงของประเทศไอร์แลนด์	62
ภาพที่ 5.9 พลังงานลมที่ได้จากการคาดการณ์ด้วยความเร็วลมของประเทศไทย	63
ภาพที่ 5.10 พลังงานลมที่ได้จากการคาดการณ์ด้วยความเร็วลมของประเทศไอร์แลนด์	63
ภาพที่ ก.1 รูปร่างแผนภาพระบบทดสอบที่ 1	89
ภาพที่ ก.2 รูปร่างแผนภาพระบบทดสอบที่ 2	89
ภาพที่ ก.3 รูปร่างแผนภาพระบบทดสอบที่ 3	89
ภาพที่ ก.4 ระบบทดสอบ IEEE 30 บัส	92
ภาพที่ ก.1 แผนภาพการทำงานของโปรแกรมที่คำนวณในบทที่ 3	134
ภาพที่ ก.2 แผนภาพการทำงานของโปรแกรมที่คำนวณในบทที่ 5	134